

PMR5250 - Método de Otimização Topológica Aplicada ao Projeto Mecânico

Aula 10 - Método TOBS



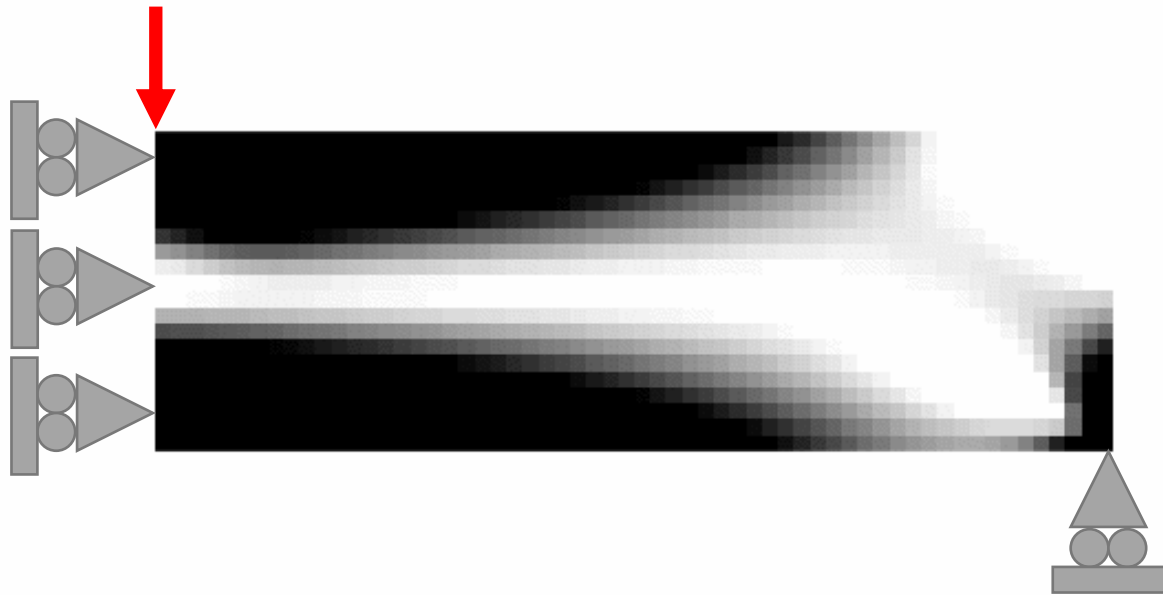
Prof. Dr. Emílio C. N. Silva
Prof. Dr. Renato Picelli

Departamento de Engenharia Naval e Oceânica
Escola Politécnica da Universidade de São Paulo

Resumo até o momento

- Análise de sensibilidade
 - Método das diferenças finitas
 - Método direto
 - Método adjunto
 - Método semi-analítico
- Método de densidade – baseado em SIMP
 - Aplicação de filtro numérico
 - Otimizadores OC e MMA

Algoritmo



1. Definir propriedades de material de parâmetros de otimização;
2. Discretizar domínio de projeto;
3. Realizar análise por elementos finitos;

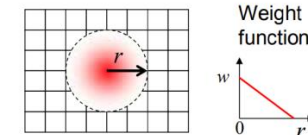
$$E_i = \rho_i^p E_0$$

$$\mathbf{K}\mathbf{u} = \mathbf{f}$$

4. Calcular sensibilidades;

$$\frac{df(\mathbf{x})}{dx_i} = -\frac{1}{2} p x_i^{p-1} \mathbf{u}_i^T \mathbf{K}_i \mathbf{u}_i \quad \frac{dg}{dx_i} = \frac{V_i}{V_0}$$

5. Aplicar filtro numérico;

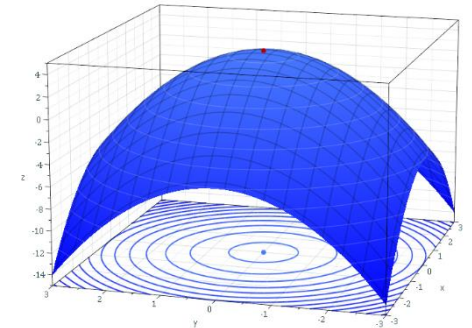


6. Resolver otimização (otimizador);
7. Atualizar variáveis de projeto;
8. Análise de convergência.

Como resolver otimização topológica binária $\{0,1\}$
com **programação matemática?**

Programação matemática

Em matemática, o termo *otimização*, ou *programação matemática*, refere-se ao estudo de problemas nos quais se busca minimizar ou maximizar uma função por meio de uma escolha sistemática de variáveis reais ou inteiras dentro de um espaço factível.



Algoritmos para se resolver o problema de otimização



$$\begin{aligned} \min & \quad f(x_i) \\ \text{s. t.} & \quad g_j(x_i) \leq 0 \\ & \quad 0 < x_{\min} \leq x_i \leq 1 \end{aligned}$$

Receita numérica

- Ingredientes numéricos:
 - 1. aproximação linear sequencial
 - 2. limites móveis
 - 3. filtro de sensibilidade
 - 4. otimizador de variáveis inteiras

Finite Elements in Analysis and Design 139 (2018) 49–61



Contents lists available at ScienceDirect

Finite Elements in Analysis and Design

journal homepage: www.elsevier.com/locate/finel



Topology optimization of binary structures using Integer Linear Programming



R. Sivapuram^{a,*}, R. Picelli^b

^a Structural Engineering, University of California, San Diego, La Jolla, CA, 92093, USA

^b Cardiff School of Engineering, Cardiff University, Queen's Buildings, 14-17, The Parade, Cardiff, CF24 3AA, United Kingdom

- Formulação do problema

$$\text{Minimize}_{\mathbf{x}} f(\mathbf{x}),$$

$$\text{Subject to } g_i(\mathbf{x}) \leq \bar{g}_i, \quad i \in [1, N_g],$$

$$x_j \in \{0, 1\}, \quad j \in [1, N_d],$$

O método TOBS

- Funções aproximadas

$$f(\mathbf{x}) = f(\mathbf{x}^k) + \frac{\partial f(\mathbf{x}^k)}{\partial \mathbf{x}} \cdot \Delta \mathbf{x}^k + O(\|\Delta \mathbf{x}^k\|_2^2),$$

$$g_i(\mathbf{x}) = g_i(\mathbf{x}^k) + \frac{\partial g_i(\mathbf{x}^k)}{\partial \mathbf{x}} \cdot \Delta \mathbf{x}^k + O(\|\Delta \mathbf{x}^k\|_2^2),$$

- Funções aproximadas

$$f(\mathbf{x}) \approx f(\mathbf{x}^k) + \frac{\partial f(\mathbf{x}^k)}{\partial \mathbf{x}} \cdot \Delta \mathbf{x}^k,$$

$$g_i(\mathbf{x}) \approx g_i(\mathbf{x}^k) + \frac{\partial g_i(\mathbf{x}^k)}{\partial \mathbf{x}} \cdot \Delta \mathbf{x}^k,$$

- Restrição de variável binária

$$\begin{cases} 0 \leq \Delta x_j^k \leq 1 & \text{if } x_j^k = 0, \\ -1 \leq \Delta x_j^k \leq 0 & \text{if } x_j^k = 1, \end{cases}$$

$$\Delta x_j^k \in \{-x_j^k, 1 - x_j^k\}.$$

O método TOBS

- Restrição para garantir que o erro de truncamento seja pequeno (restrição de truncamento)

$$\|\Delta \mathbf{x}^k\|_1 \leq \beta N_d.$$

O método TOBS

- Subproblema de otimização – problema aproximado

$$\text{Minimize}_{\Delta \mathbf{x}^k} \frac{\partial f(\mathbf{x}^k)}{\partial \mathbf{x}} \cdot \Delta \mathbf{x}^k,$$

$$\text{Subject to } \frac{\partial g_i(\mathbf{x}^k)}{\partial \mathbf{x}} \cdot \Delta \mathbf{x}^k \leq \bar{g}_i - g_i(\mathbf{x}^k) := \Delta g_i^k,$$

$$\|\Delta \mathbf{x}^k\|_1 \leq \beta N_d,$$

$$\Delta x_j^k \in \{-x_j^k, 1 - x_j^k\}, \quad j \in [1, N_d].$$

O método TOBS

- Limites móveis
 - Relaxação das restrições

$$\Delta g_i^k = \begin{cases} -\epsilon_i g_i(\mathbf{x}^k) & : \bar{g}_i < (1 - \epsilon_i) g_i(\mathbf{x}^k), \\ \bar{g}_i - g_i(\mathbf{x}^k) & : \bar{g}_i \in [(1 - \epsilon_i) g_i(\mathbf{x}^k), (1 + \epsilon_i) g_i(\mathbf{x}^k)], \\ \epsilon_i g_i(\mathbf{x}^k) & : \bar{g}_i > (1 + \epsilon_i) g_i(\mathbf{x}^k), \end{cases}$$

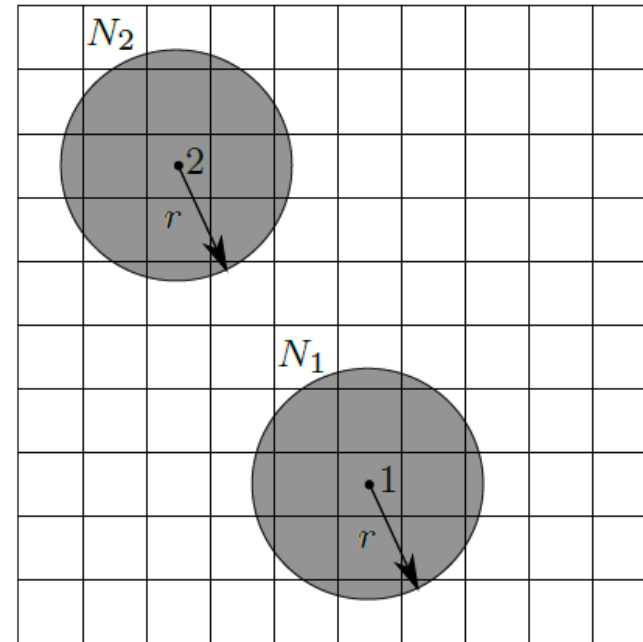
- Restrição do erro de truncamento

$$\|\Delta \mathbf{x}^k\|_1 \leq \beta N_d.$$

O método TOBS

- Filtro de sensibilidade

$$\frac{\partial f}{\partial \rho_e} = \frac{\sum_{m \in N} w_{nm} \frac{\partial f}{\partial y_m}}{\sum_{m \in N} w_{nm}}$$



O método TOBS

- Filtro de sensibilidade (estabilização temporal)

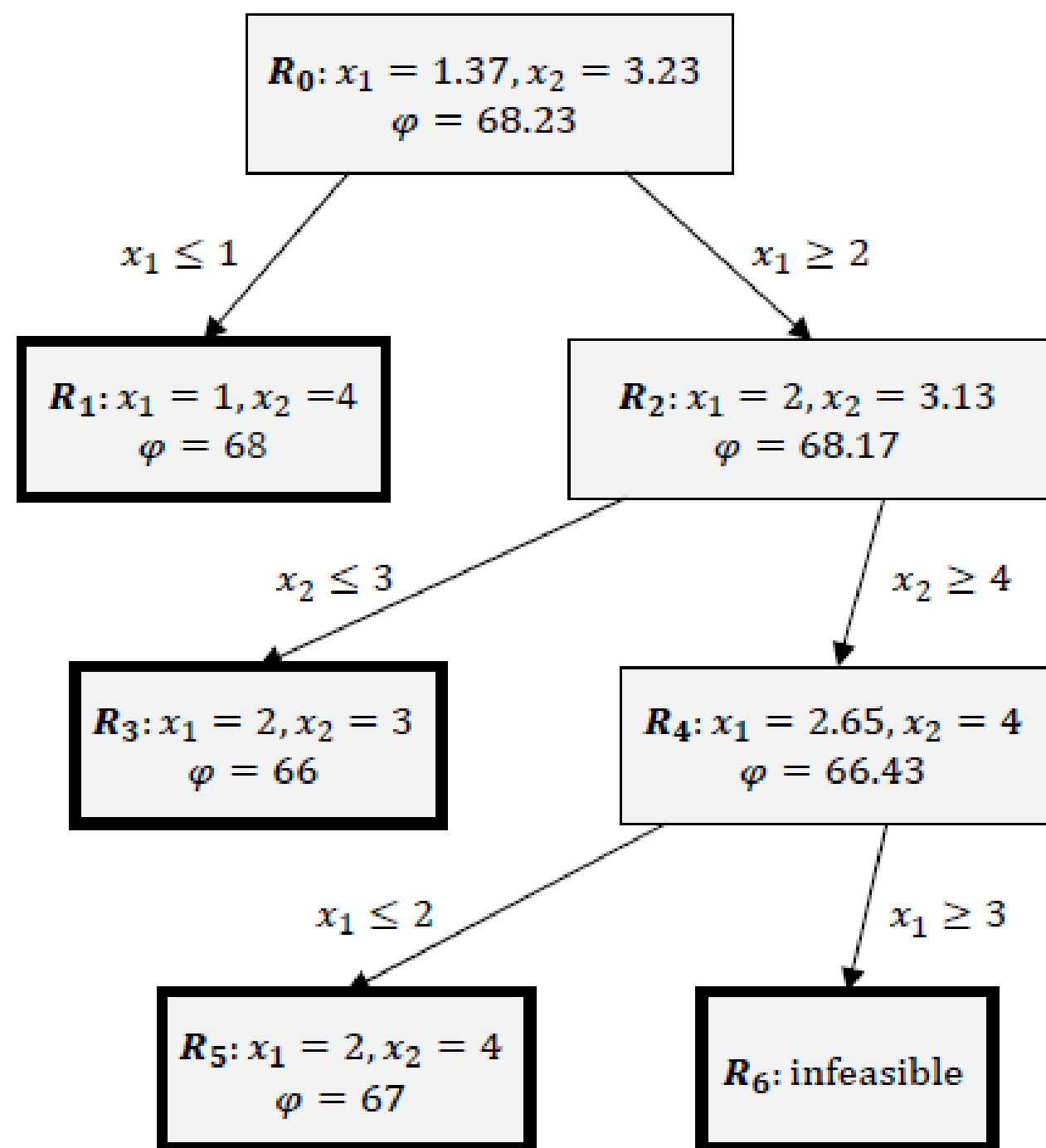
$$\frac{\widetilde{\partial f}^k}{\partial x_j} \leftarrow \frac{\frac{\widetilde{\partial f}^k}{\partial x_j} + \frac{\widetilde{\partial f}^{k-1}}{\partial x_j}}{2}$$

O método TOBS

- Otimização de programação inteira (*branch-and-bound*)
 - Intlinprog (Matlab)
 - CPLEX (IBM)

O método TOBS

- *Branch-and-bound*
- Intlinprog (Matlab)
- CPLEX (IBM)



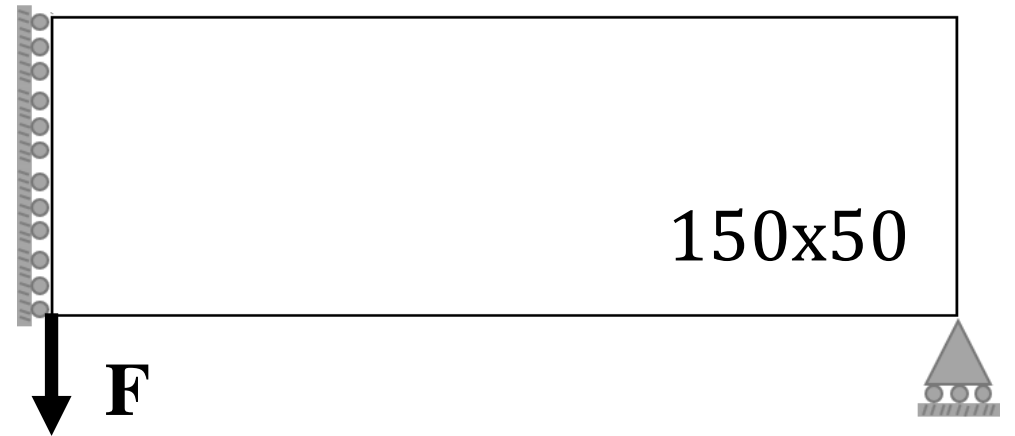
O método TOBS

- *Branch-and-bound*
 - Intlinprog (Matlab)
 - CPLEX (IBM)

Atualização das pseudo-densidades: $\mathbf{x}^{k+1} = \mathbf{x}^k + \Delta\mathbf{x}^k$

Exemplo

$$\begin{aligned} &\text{Minimize} && \mathbf{F}^T \mathbf{u} \\ &\text{Subject to} && V \leq 50\% \\ & && x_i = \{0,1\} \end{aligned}$$



$\epsilon = 0.01 \rightarrow$ Relaxação da restrição

$\beta = 0.05 \rightarrow$ Restrição da truncagem

$$r_{\min} = 5$$

$$E = 1.0$$

$$\nu = 0.3$$

A 101-line MATLAB code for topology optimization using binary variables and integer programming

Renato Picelli , Raghavendra Sivapuram & Yi Min Xie

[Structural and Multidisciplinary Optimization](#) (2020) | [Cite this article](#)



- Raio do filtro, malha e penalidade.



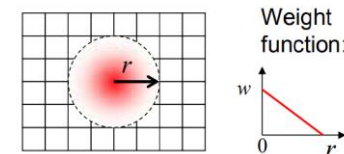
1. Definir propriedades de material de Parâmetros de otimização;
2. Discretizar domínio de projeto;
3. Realizar análise por elementos finitos;

$$E_i = E_{min} + x_i^p (E_0 - E_{min}) \quad \mathbf{K}\mathbf{u} = \mathbf{f}$$

4. Calcular sensibilidades;

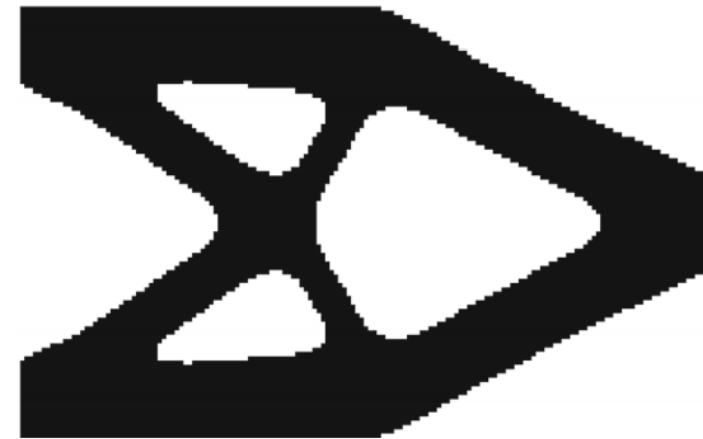
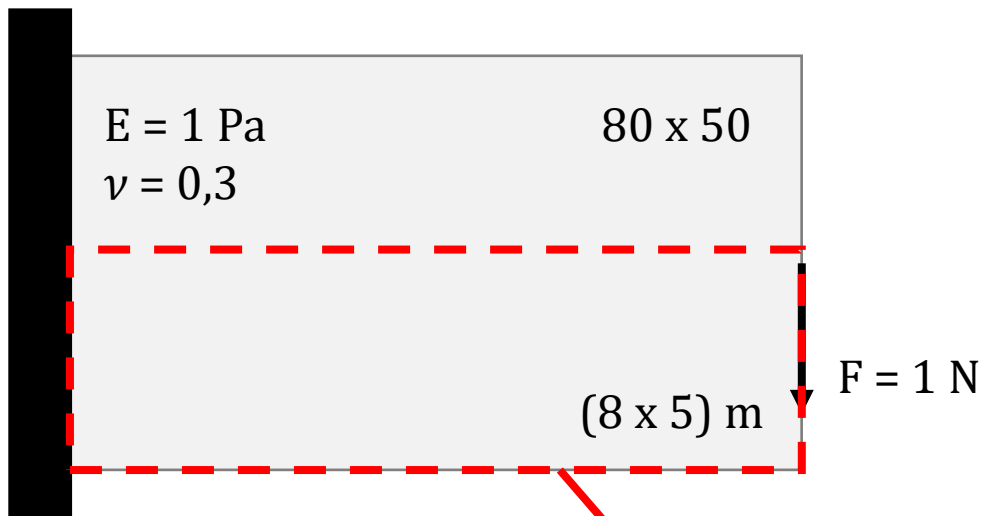
$$\frac{df(\mathbf{x})}{dx_i} = -\frac{1}{2} p x_i^{p-1} (E_0 - E_{min}) \mathbf{u}_i^T \mathbf{K}_i \mathbf{u}_i \quad \frac{dg}{dx_i} = \frac{V_i}{V_0}$$

5. Aplicar filtro numérico;



6. Média histórica da sensibilidade (estabilização);
7. Resolver o subproblema linearizado;
8. Atualizar variáveis: $\mathbf{x}^{k+1} = \mathbf{x}^k + \Delta \mathbf{x}^k$
9. Convergiu?

Simetria



solução: resolver o problema de ILP (programação linear inteira) somente na parte simétrica.



Critério de convergência

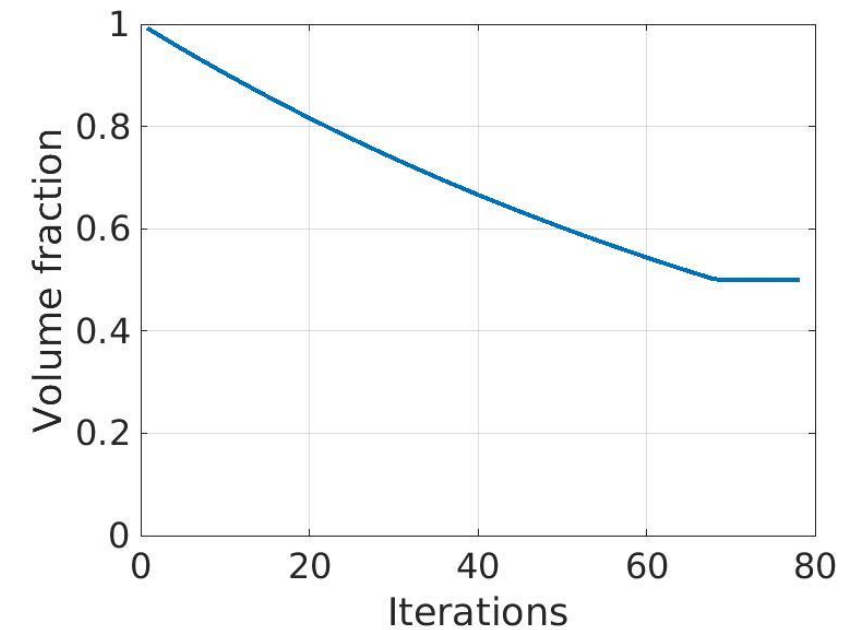
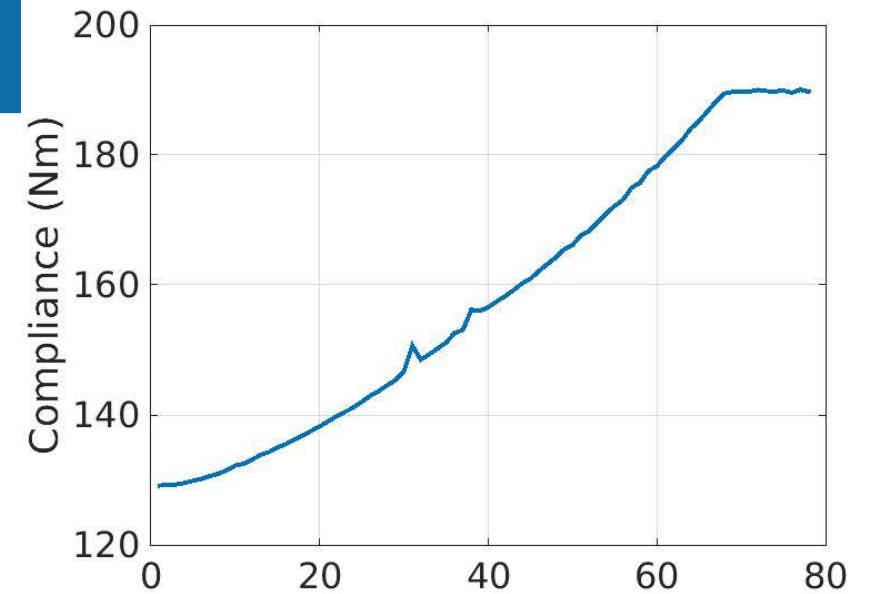
- Mudança na função objetivo.

$$error = \frac{|\sum_{i=1}^N (C_{k-i+1} - C_{k-N-i+1})|}{\sum_{i=1}^N C_{k-i+1}} \leq \tau$$

Exercício 1



Reproduzir esse resultado usando o seu código.



Exercício 1



Reproduzir esse resultado usando o seu código.

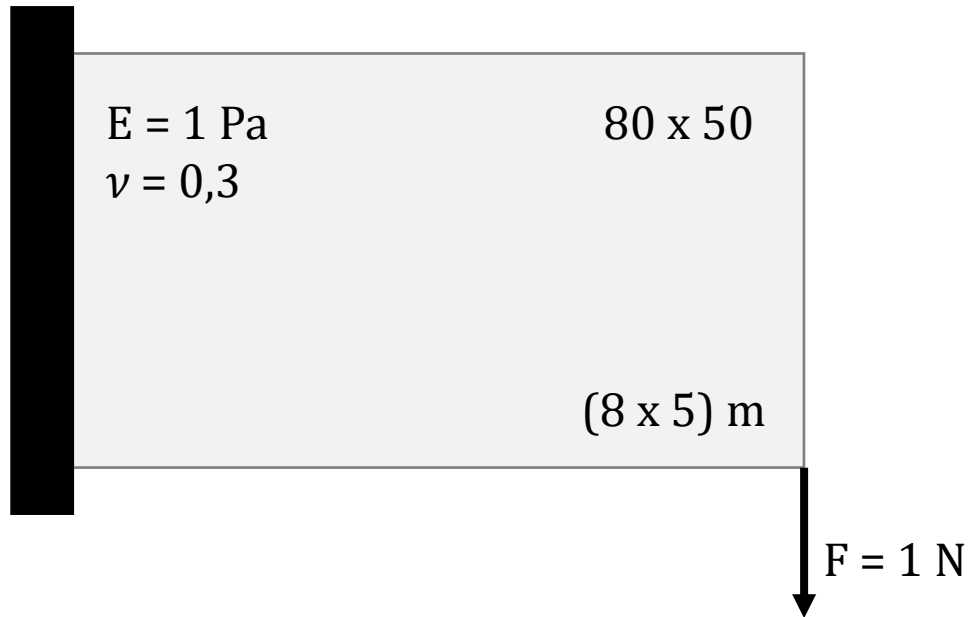


```
% Define mesh dimensions
Lx = 150;
Ly = 50;
% Number of elements in the mesh
nelx = 150;
nely = 50;

% Material properties
E = 1.0; % Young's modulus
nu = 0.3; % Poisson's ratio
%
penalty = 3;
volfrac = 0.5;
radius = 5;
%
beta = 0.05;
epsilons = 0.01;
```

- Programação inteira tem mais mínimos locais que otimização com variáveis contínuas.
- Contudo, o método TOBS também é convergente e, dependendo, independente da malha.

Exercício 2



minimizar
sujeito a

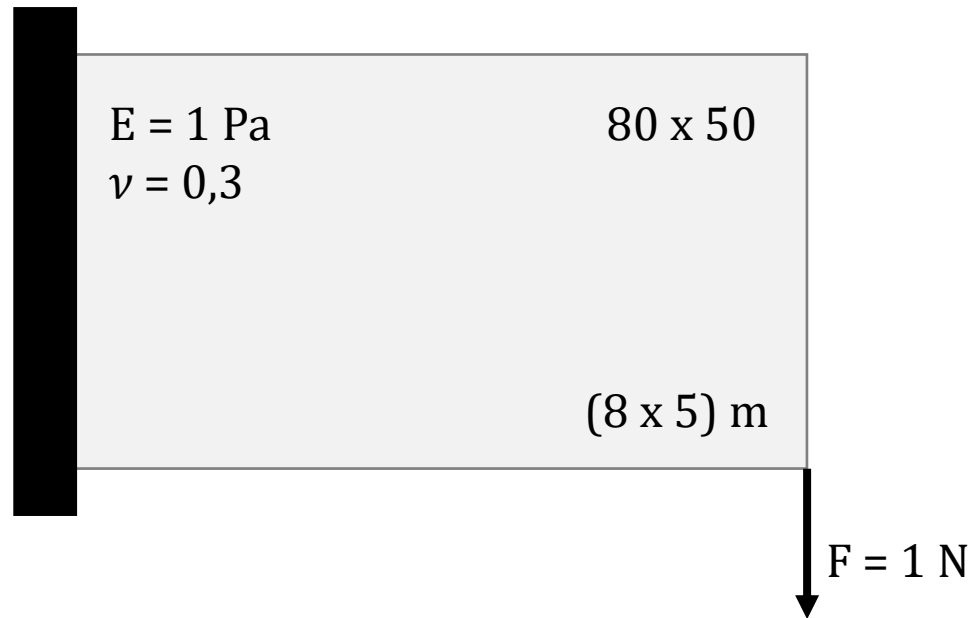
$$V(\mathbf{x})$$
$$\mathbf{F}^T \mathbf{U} \leq \bar{C}$$
$$x_i = \{0,1\}$$

```
% Optimization parameters  
radius = 0.3;  
rho_min = 0.001;  
compliance_constraint = 70;  
epsilons = 0.001;  
flip_limits = 0.10;  
tau = 0.001;
```

```
% Filter radius in length unit  
% Minimum density (for void elements)  
% Compliance constraint  
% Constraint relaxation parameter  
% Flip limits  
% Convergence tolerance
```



Exercício 2



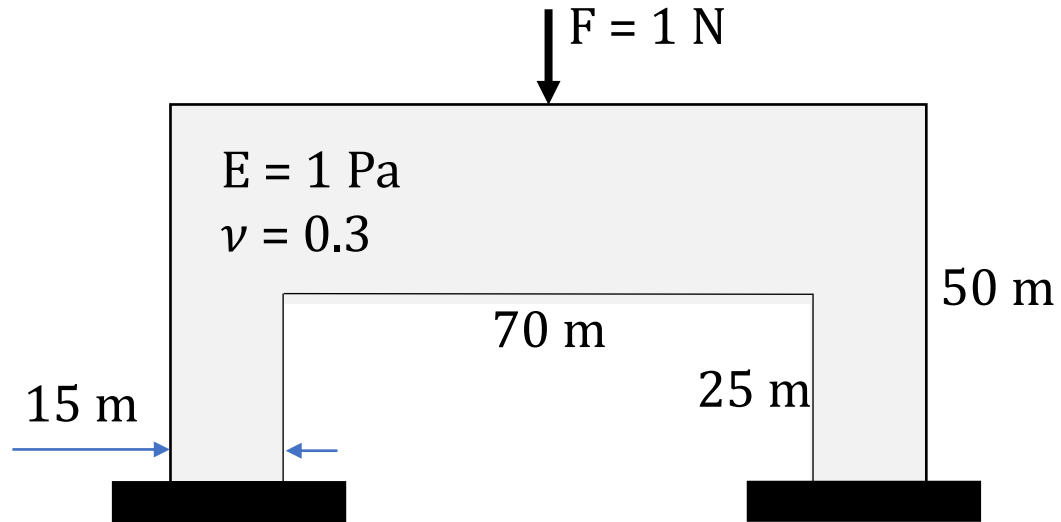
minimizar
sujeito a

$$V(\mathbf{x})$$
$$\mathbf{F}^T \mathbf{U} \leq \bar{C}$$
$$x_i = \{0,1\}$$



Rodar para três valores diferentes de \bar{C} e explicar os resultados.

Exercício 3



minimizar
sujeito a

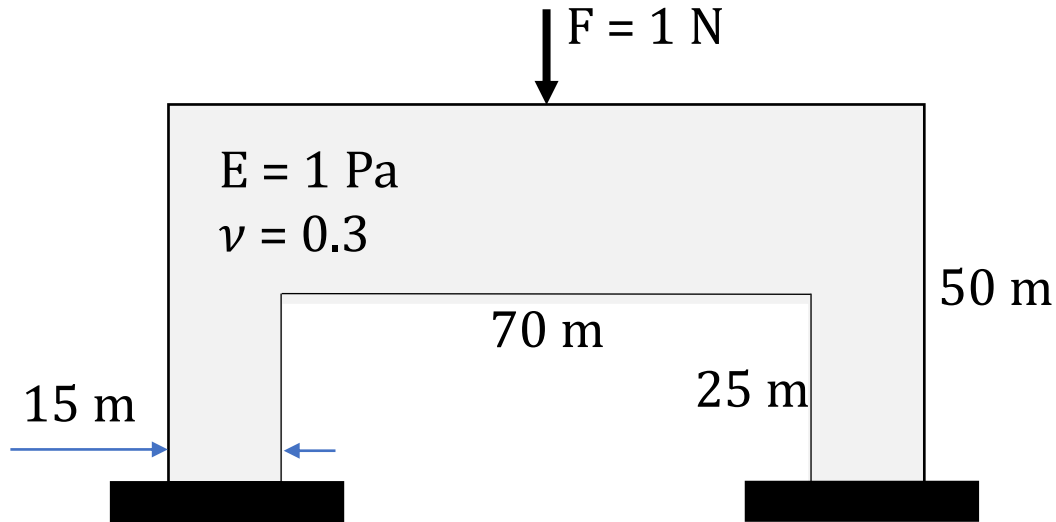
$$V(\mathbf{x})$$
$$\mathbf{F}^T \mathbf{U} \leq \bar{C}$$
$$x_i = \{0,1\}$$

```
% Optimization parameters  
radius = 3;  
rho_min = 0.001^3;  
compliance_constraint = 15;  
epsilon = 0.01;  
flip_limits = 0.10;  
tau = 0.001;
```

```
% Filter radius in length unit  
% Minimum density (for void elements)  
% Compliance constraint  
% Constraint relaxation parameter  
% Flip limits  
% Convergence tolerance
```



Exercício 3



minimizar
sujeito a

$$V(\mathbf{x})$$
$$\mathbf{F}^T \mathbf{U} \leq \bar{C}$$
$$x_i = \{0,1\}$$

Para resolver esse problema, altere a solução (projeto) inicial para representar a topologia estrutural acima. Crie um vetor com os números de cada elemento passivo (que permanecerão $x_i = 0$ para manter o vão da estrutura vazio). Esses elementos passivos devem ter sua sensibilidade prescritas como 0. Isso inativará os elementos na otimização.



Exemplo do portal (domínio passivo - não otimizável)

- Elementos passivos

```
passive = zeros(length(fea.mesh.incidence), 1);
```

- Loop nos elementos

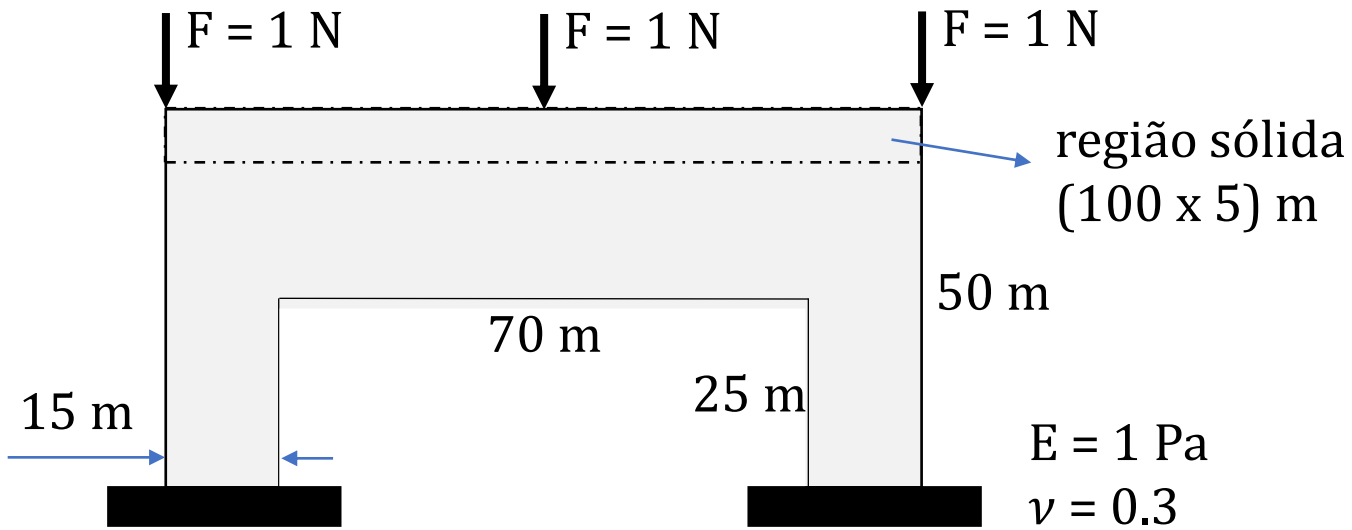
- Se o centróide do elemento está no vão:

```
    passive(i) = 1;
```

- fim

```
passive = find(passive == 1);
```

Exercício 4



minimizar
sujeito a

$$V(\mathbf{x})$$
$$\mathbf{F}^T \mathbf{U} \leq \bar{C}$$
$$x_i = \{0, 1\}$$

Caso de carregamento simples.

```
% Optimization parameters
```

```
radius = 3;
```

```
rho_min = 0.001^3;
```

```
compliance_constraint = 50;
```

```
epsilons = 0.01;
```

```
flip_limits = 0.10;
```

```
tau = 0.001;
```

```
% Filter radius in length unit
```

```
% Minimum density (for void elements)
```

```
% Compliance constraint
```

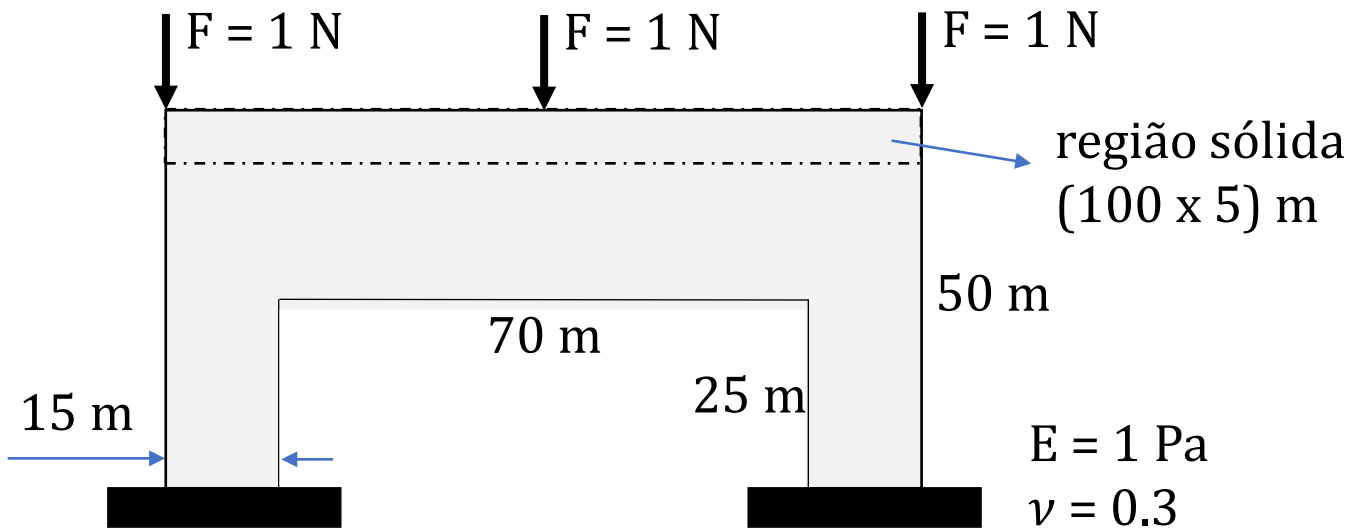
```
% Constraint relaxation parameter
```

```
% Flip limits
```

```
% Convergence tolerance
```



Exercício 4



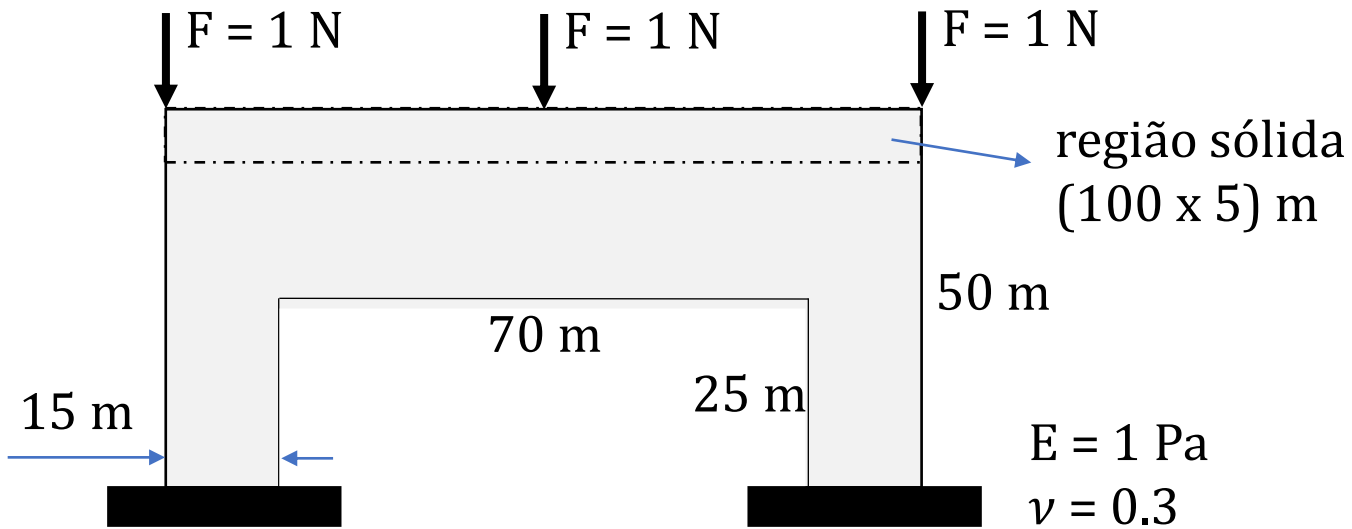
minimizar
sujeito a

$$V(\mathbf{x})$$
$$\mathbf{F}^T \mathbf{U} \leq \bar{C}$$
$$x_i = \{0,1\}$$

Incluir a lista de elementos que se manterão sólido. A diferença para o exercício anterior é que a lista de elementos passivos mudou (aumentou).



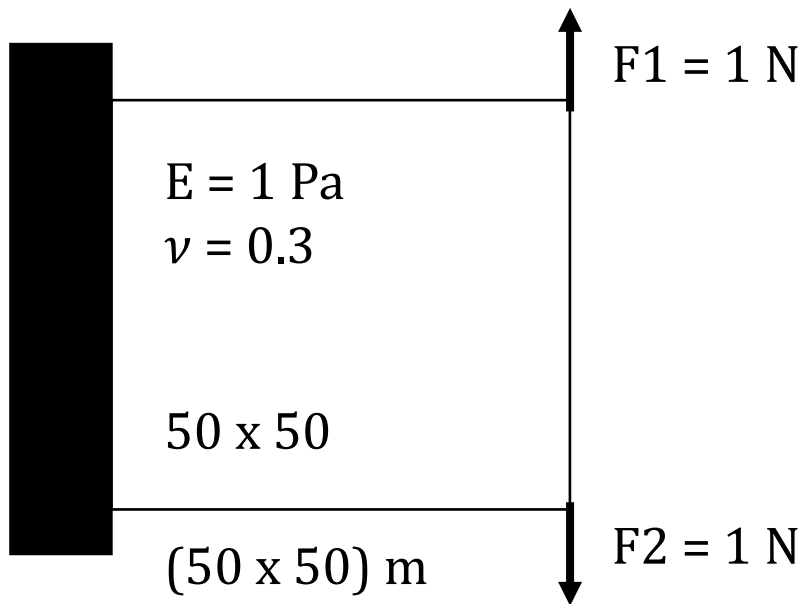
Exercício 4



Incluir a lista de elementos que se manterão sólido. A diferença para o exercício anterior é que a lista de elementos passivos mudou (aumentou).



Outros casos - carregamentos múltiplos



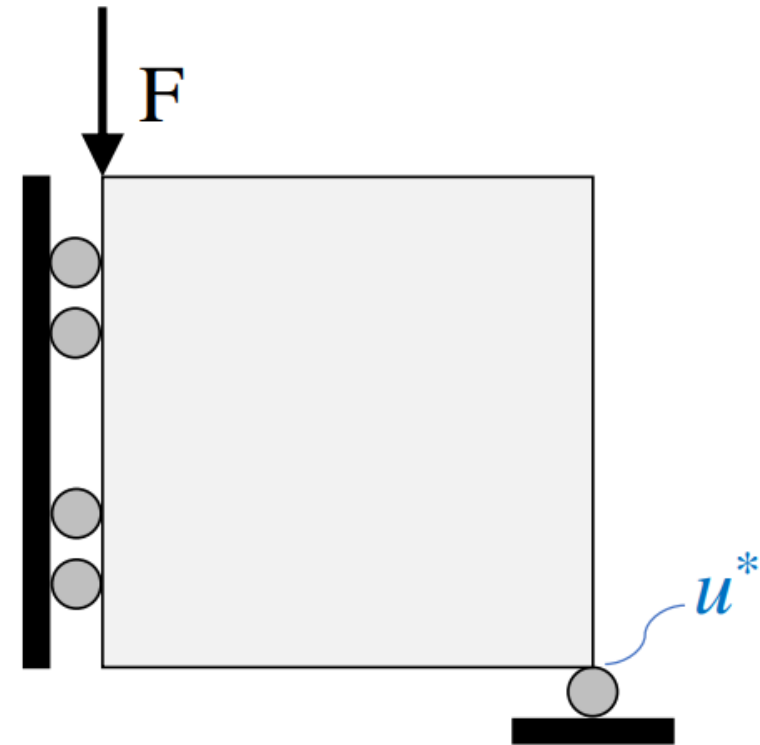
O problema de carregamento simples é quando F_1 e F_2 agem simultaneamente.

O problema de carregamentos múltiplos é quando F_1 e F_2 podem agir em diferentes momentos. Assim, a estrutura deve ser projetada para suportar ambos os carregamentos separadamente. Nesse caso,

$$f(\mathbf{x}) = w_1 * f_1(\mathbf{x}) + w_2 * f_2(\mathbf{x}) ; \text{consequentemente,}$$
$$\frac{df}{dx_i} = w_1 * \frac{df_1}{dx_i} + w_2 * \frac{df_2}{dx_i}.$$

Outros casos - restrição de deslocamento

$$\begin{aligned} & \underset{\mathbf{x}}{\text{Minimize}} && C(\mathbf{x}) = \mathbf{u}^T \mathbf{K} \mathbf{u}, \\ & \text{Subject to} && \frac{V(\mathbf{x})}{V_0} \leq \bar{V}, \\ & && \mathbf{u}^* \leq \bar{\mathbf{u}}, \\ & && \mathbf{K} \mathbf{u} = \mathbf{F}, \\ & && x_j \in \{0, 1\}, \quad j \in [1, N_d] \end{aligned}$$



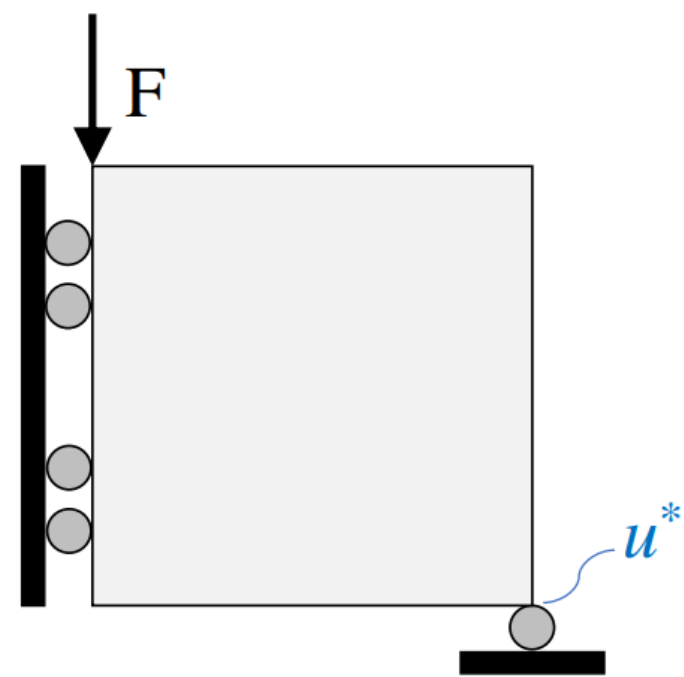
Outros casos - restrição de deslocamento

Problema adjunto:

$$\mathbf{K}\boldsymbol{\lambda} = -\frac{\partial\phi}{\partial\mathbf{U}} \quad \longrightarrow \quad K\boldsymbol{\lambda} = -P$$

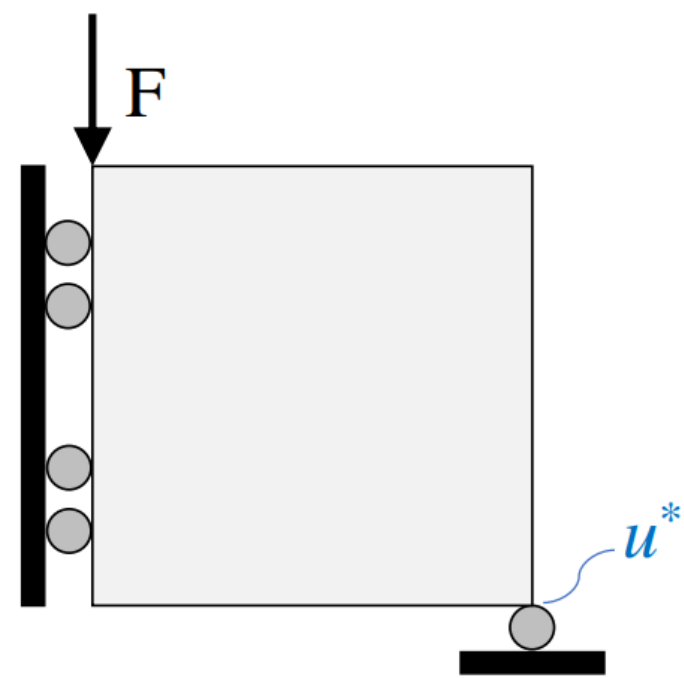
Expressão final:

$$\frac{d\phi}{dx_i} = \frac{\partial\phi}{\partial x_i} + \boldsymbol{\lambda}^T \frac{\partial\mathbf{K}}{\partial x_i} \mathbf{U} \quad \longrightarrow \quad \frac{\partial u^*}{\partial x_j} = p x_j^{p-1} (E_0 - E_{\min}) \boldsymbol{\lambda}_j^T \mathbf{k}_0 \mathbf{u}_j$$



$$\phi(x_i) = u^*$$

Outros casos - restrição de deslocamento



(a) $u^* \leq 10$



(b) $u^* \leq 12$



(c) $u^* \leq 14$



(d) $u^* \leq 100$

Outros casos - restrição de deslocamento

